

**Geometrické požiadavky na zaradenie murovacích prvkov do skupín**

|  | Materiály a vymedzenia pre murovacie prvky |                  |  |  |                |                                      |                  |                |
|--|--|------------------|--|--|----------------|--------------------------------------|------------------|----------------|
|  | Skupina 1<br>(všetky materiály)            | Murovacie prvky  | Skupina 2  |  | Skupina 3      |                                      | Skupina 4        |                |
|  |  |                  | Zvislé otvory  |  |                |                                      | Vodorovné otvory |                |
| Objem všetkých otvorov (% z celkového objemu murovacieho prvku)  | ≤ 25                                       | tehliarske       | > 25; ≤ 55   | ≥ 25; ≤ 70   |                | > 25; ≤ 70                           |                  |                |
|  |  | vápenno-pieskové | > 25; ≤ 55   | nepoužíva sa   |                | nepoužíva sa                         |                  |                |
|  |  | betónové b)      | > 25; ≤ 60   | > 25; ≤ 70   |                | > 25; ≤ 50                           |                  |                |
| Objem jednotlivého otvoru (% z celkového objemu murovacieho prvku)                                     | ≤ 12,5                                     | tehliarske       | každý z celkového počtu otvorov ≤ 2 manipulačné otvory spolu do 12,5 | každý z celkového počtu otvorov ≤ 2 manipulačné otvory spolu do 12,5 |                | každý z celkového počtu otvorov ≤ 30 |                  |                |
|  |  | vápenno-pieskové | každý z celkového počtu otvorov ≤ 15 manipulačné otvory spolu do 30  | nepoužíva sa   |                | nepoužíva sa                         |                  |                |
|  |  | betónové b)      | každý z celkového počtu otvorov ≤ 30 manipulačné otvory spolu do 30  | každý z celkového počtu otvorov ≤ 30 manipulačné otvory spolu do 30  |                | každý z celkového počtu otvorov ≤ 25 |                  |                |
| Deklarované hodnoty hrúbky rebier (mm)   | nevyžaduje sa                              |                  | vnútorné rebro   | obvodové rebro   | vnútorné rebro | obvodové rebro                       | vnútorné rebro   | obvodové rebro |
|  |  | tehliarske       | ≥ 5  | ≥ 8  | ≥ 3            | ≥ 6                                  | ≥ 5              | ≥ 6            |
|  |  | vápenno-pieskové | ≥ 5  | ≥ 10   | nepoužíva sa   |                                      | nepoužíva sa     |                |
|  | betónové b)                                | ≥ 15             | ≥ 18   | ≥ 15   | ≥ 15           | ≥ 20                                 | ≥ 20             |                |
| Deklarovaná hodnota súčtu hrúbok rebier a) v smere celkovej šírky murovacieho prvku (% zo šírky prvku) | nevyžaduje sa                              | tehliarske       | ≥ 16   |  | ≥ 12           |                                      | ≥ 12             |                |
|  |  | vápenno-pieskové | ≥ 20   |  | nepoužíva sa   |                                      | nepoužíva sa     |                |
|  |  | betónové b)      | ≥ 18   |  | ≥ 15           |                                      | ≥ 45             |                |

a) Súčet hrúbok rebier je súčet hrúbok vnútorných a obvodových rebier meraných vodorovne v príslušnom smere. Kontrolu treba chápať ako kvalifikačnú skúšku a treba ju opakovať len v prípade základných zmien návrhových rozmerov murovacích prvkov.

b) V prípade kónických alebo komôrkových otvorov použiť priemernú hodnotu hrúbok vnútorných a obvodových rebier.

**Tabuľka NA1 – Hodnoty parciálneho súčiniteľa  $\gamma_M$** 

| Materiál |  | $\gamma_M$ |
|----------|--|------------|
| A        | Murivo z murovacích prvkov: kategórie I na maltu navrhnutého zloženia a) | 2,0        |
|          |  | 2,2        |
|          |  | 2,5        |
| B        | kategórie I na maltu predpísaného zloženia b)                            | 2,2        |
| C        | kategórie II na akúkoľvek maltu a), b), e)                               | 2,5        |
| D        | Kotvenie výstužnej ocele   | 2,2        |
| E        | Výstužná oceľ a predpínacia oceľ   | 1,15       |
| F        | Doplnkové prvky c), d)   | 2,2        |
| G        | Preklady podľa STN EN 845-2  | 1,5 až 2,5 |

a) Požiadavky na malty navrhnutého zloženia sú uvedené v STN EN 998-2 a STN EN 1996-2.

b) Požiadavky na malty predpísaného zloženia sú uvedené v STN EN 998-2 a STN EN 1996-2.

c) Deklarované hodnoty sú priemerné hodnoty.

d) Pre izolácie proti vode platí súčiniteľ  $\gamma_M$  platný pre murivo.

e) Keď variačný koeficient murovacích prvkov kategórie II nie je väčší ako 25 %.

**Hodnoty súčiniteľa tvaru murovacích prvkov ( $\delta$ )**

| Výška murovacieho prvku [mm] | Najmenší vodorovný rozmer murovacieho prvku (mm) |      |      |      |       |
|------------------------------|--|------|------|------|-------|
|                              | 50   | 100  | 150  | 200  | ≥ 250 |
| 50                           | 0,85   | 0,75 | 0,70 | -    | -     |
| 65                           | 0,95   | 0,85 | 0,75 | 0,70 | 0,65  |
| 100                          | 1,15   | 1,00 | 0,90 | 0,80 | 0,75  |
| 150                          | 1,30   | 1,20 | 1,10 | 1,00 | 0,95  |
| 200                          | 1,45   | 1,35 | 1,25 | 1,15 | 1,10  |
| 250 alebo viac               | 1,55   | 1,45 | 1,35 | 1,25 | 1,15  |

**Poznámka:** povolená je lineárna interpolácia

Hodnoty konštanty  $K$  pri použití obyčajnej malty, malty pre tenké škáry a ľahkej malty

| Murovacie prvky                 |           | Obyčajná malta  |  | Malta na tenké škáry (hrúbka škáry $\geq 0,5$ mm $\leq 3$ mm ) a | Ľahká malta s objemovou hmotnosťou $\text{kg/m}^3$ |                          |
|---------------------------------|-----------|---|--|--|--|--------------------------|
|                                 |           | Murivo bez maltovej škáry rovnobežnej s lícovou plochou steny | Murivo s maltovou škárou rovnobežnou s lícovou plochou steny |  | $600 \leq \rho_d \leq 800$                         | $800 < \rho_d \leq 1300$ |
| Tehliarske                      | Skupina 1 | 0,55  | 0,44   | 0,75   | 0,30   | 0,40                     |
|                                 | Skupina 2 | 0,45  | 0,36   | 0,70   | 0,25   | 0,30                     |
|                                 | Skupina 3 | 0,35  | 0,28   | 0,50   | 0,20   | 0,25                     |
|                                 | Skupina 4 | 0,35  | 0,28   | 0,35   | 0,20   | 0,25                     |
| Vápenno-pieskové                | Skupina 1 | 0,55  | 0,44   | 0,80   | ‡  | ‡                        |
|                                 | Skupina 2 | 0,45  | 0,36   | 0,65   | ‡  | ‡                        |
| Betónové                        | Skupina 1 | 0,55  | 0,44   | 0,80   | 0,45   | 0,45                     |
|                                 | Skupina 2 | 0,45  | 0,36   | 0,65   | 0,45   | 0,45                     |
|                                 | Skupina 3 | 0,40  | 0,32   | 0,50   | ‡  | ‡                        |
|                                 | Skupina 4 | 0,35  | 0,28   | ‡  | ‡  | ‡                        |
| Z autoklávovaného pórobetónu    | Skupina 1 | 0,55  | 0,44   | 0,80   | 0,45   | 0,45                     |
| Z umelého kameňa                | Skupina 1 | 0,45  | 0,36   | 0,75   | ‡  | ‡                        |
| Z prírodného tvarovaného kameňa | Skupina 1 | 0,45  | 0,36   | ‡  | ‡  | ‡                        |

‡ Táto kombinácia malty/murovacie prvky sa bežne nepoužíva, preto hodnoty nie sú uvedené.

Hodnoty počiatkovej pevnosti muriva v šmyku  $f_{vk0}$

| Murovacie prvky                                    | Hodnoty počiatkovej pevnosti muriva v šmyku $f_{vk0}$ ( $\text{N/mm}^2$ ) |  |             |
|--|---|--|-------------|
|  | Obyčajná malta pevnostnej triedy  | Malta na tenké škáry hrúbka ložných škár $\geq 0,5$ mm a $\leq 3$ mm | Ľahká malta |
| Tehliarske   | M10 - M20   | 0,30   | 0,30        |
|  | M2,5 - M9   | 0,20   |             |
|  | M1 - M2   | 0,10   |             |
| Vápenno-pieskové                                   | M10 - M20   | 0,20   | 0,40        |
|  | M2,5 - M9   | 0,15   |             |
|  | M1 - M2   | 0,10   |             |
| Betónové   | M10 - M20   | 0,20   | 0,30        |
| Z autoklávovaného pórobetónu                       | M2,5 - M9   | 0,15   |             |
| Z umelého kameňa a z prírodného tvarovaného kameňa | M1 - M2   | 0,10   |             |

Hodnoty  $f_{xk1}$  pre smer porušenia v rovine rovnobežnej s ložnými škárami

| Murovacie prvky                 | $f_{xk1}$ ( $\text{N/mm}^2$ ) |                              |                      |
|---------------------------------|-------------------------------|------------------------------|----------------------|
|                                 | Obyčajná malta                |                              | Malta na tenké škáry |
|                                 | $f_m < 5$ $\text{N/mm}^2$     | $f_m \geq 5$ $\text{N/mm}^2$ | Ľahká malta          |
| Tehliarske                      | 0,10                          | 0,10                         | 0,15                 |
| Vápenno-pieskové                | 0,05                          | 0,10                         | 0,20                 |
| Betónové                        | 0,05                          | 0,10                         | 0,20                 |
| Z autoklávovaného pórobetónu    | 0,05                          | 0,10                         | 0,15                 |
| Z umelého kameňa                | 0,05                          | 0,10                         | nepoužíva sa         |
| Z prírodného tvarovaného kameňa | 0,05                          | 0,10                         | 0,15                 |

Hodnoty  $f_{sk2}$  pre smer porušenia v rovine kolmej na ložné škáry

| Murovacie prvky                 | $f_{sk2}$ (N/mm <sup>2</sup> )    |                                |                      |              |
|---------------------------------|-----------------------------------|--------------------------------|----------------------|--------------|
|                                 | Obyčajná malta                    |                                | Malta na tenké škáry | Eahká malta  |
|                                 | $f_m < 5$ N/mm <sup>2</sup>       | $f_m \geq 5$ N/mm <sup>2</sup> |                      |              |
| Tehliarske                      | 0,20                              | 0,40                           | 0,15                 | 0,10         |
| Vápenno-pieskové                | 0,20                              | 0,40                           | 0,30                 | nepoužíva sa |
| Betónové                        | 0,20                              | 0,40                           | 0,30                 | nepoužíva sa |
| Z autoklávovaného pórobetónu    | $\rho < 400$ kg/m <sup>3</sup>    | 0,20                           | 0,20                 | 0,15         |
|                                 | $\rho \geq 400$ kg/m <sup>3</sup> | 0,20                           | 0,40                 | 0,30         |
| Z umelého kameňa                | 0,20                              | 0,40                           | nepoužíva sa         | nepoužíva sa |
| Z prírodného tvarovaného kameňa | 0,20                              | 0,40                           | 0,15                 | nepoužíva sa |

Rozsah hodnôt súčiniteľov dotvarovania, hodnôt napučievania alebo zmršťovania a teplotnej rozťažnosti muriva

| Murovacie prvky                   | Konečná hodnota súčiniteľa dotvarovania <sup>a)</sup> $\Phi_\infty$ | Konečná hodnota pretvorenia pri napučívaní alebo zmršťovaní <sup>b)</sup> mm/m | Koeficient teplotnej rozťažnosti $\alpha_t$<br>10 <sup>-6</sup> /K |
|-----------------------------------|---|--|--|
| Tehliarske                        | 0,5 až 1,5  | -0,2 až +1,0   | 4 až 8   |
| Vápenno-pieskové                  | 1,0 až 2,0  | -0,4 až -0,1   | 7 až 11  |
| Z hutného betónu a umelého kameňa | 1,0 až 2,0  | -0,6 až -0,1   | 6 až 12  |
| Z ľahkého betónu                  | 1,0 až 3,0  | -1,0 až -0,2   | 6 až 12  |
| Z autoklávovaného pórobetónu      | 0,5 až 1,5  | -0,4 až +0,2   | 7 až 9   |
| Z prírodného kameňa               | magmatického  | c)   | 5 až 9   |
|                                   | sedimentovaného   |  | 2 až 7   |
|                                   | metamorfovaného   |  | 1 až 18  |

a) Konečná hodnota súčiniteľa dotvarovania  $\Phi_\infty = \varepsilon_{c\infty} / \varepsilon_{el}$ , kde  $\varepsilon_{c\infty}$  je konečná hodnota pretvorenia pri dotvarovaní a  $\varepsilon_{el} = \sigma / E$

b) Tam, kde je konečná hodnota pretvorenia pri napučívaní alebo zmršťovaní uvedená ako záporné číslo, znamená to skracovanie, a kde je uvedená ako kladné číslo, znamená to predĺžovanie.

c) Tieto hodnoty sú všeobecne veľmi nízke.

Zmenšujúci súčiniteľ  $\Phi_m$  pri  $E = K_E \cdot f_b = 700f_k$ ,  $K_E = 700$

| Štíhlostný pomer $h_{ef}/t_{ef}$ | Pomer $e_{mk}/t$ |        |        |        |        |        |        |
|----------------------------------|------------------|--------|--------|--------|--------|--------|--------|
|                                  | 0,05             | 0,10   | 0,15   | 0,20   | 0,25   | 0,30   | 0,33   |
| 0                                | 0,8960           | 0,7958 | 0,6955 | 0,5951 | 0,4948 | 0,3945 | 0,3343 |
| 1                                | 0,8994           | 0,7993 | 0,6993 | 0,5992 | 0,4992 | 0,3991 | 0,3391 |
| 2                                | 0,8998           | 0,7998 | 0,6998 | 0,5998 | 0,4998 | 0,3998 | 0,3398 |
| 3                                | 0,8975           | 0,7973 | 0,6971 | 0,5969 | 0,4967 | 0,3965 | 0,3364 |
| 4                                | 0,8923           | 0,7918 | 0,6912 | 0,5906 | 0,4899 | 0,3893 | 0,3290 |
| 5                                | 0,8843           | 0,7833 | 0,6821 | 0,5809 | 0,4796 | 0,3784 | 0,3178 |
| 6                                | 0,8736           | 0,7719 | 0,6701 | 0,5681 | 0,4661 | 0,3642 | 0,3034 |
| 7                                | 0,8603           | 0,7579 | 0,6552 | 0,5523 | 0,4495 | 0,3470 | 0,2861 |
| 8                                | 0,8446           | 0,7412 | 0,6376 | 0,5339 | 0,4303 | 0,3274 | 0,2665 |
| 9                                | 0,8264           | 0,7222 | 0,6176 | 0,5131 | 0,4088 | 0,3058 | 0,2453 |
| 10                               | 0,8062           | 0,7009 | 0,5955 | 0,4902 | 0,3855 | 0,2827 | 0,2230 |
| 11                               | 0,7839           | 0,6777 | 0,5715 | 0,4656 | 0,3608 | 0,2588 | 0,2003 |
| 12                               | 0,7598           | 0,6528 | 0,5459 | 0,4397 | 0,3352 | 0,2346 | 0,1777 |
| 13                               | 0,7341           | 0,6264 | 0,5191 | 0,4128 | 0,3090 | 0,2105 | 0,1558 |
| 14                               | 0,7071           | 0,5988 | 0,4912 | 0,3853 | 0,2828 | 0,1870 | 0,1350 |
| 15                               | 0,6789           | 0,5703 | 0,4627 | 0,3575 | 0,2569 | 0,1645 | 0,1155 |
| 16                               | 0,6497           | 0,5410 | 0,4338 | 0,3298 | 0,2316 | 0,1433 | 0,0976 |
| 17                               | 0,6198           | 0,5113 | 0,4049 | 0,3025 | 0,2072 | 0,1235 | 0,0815 |
| 18                               | 0,5895           | 0,4813 | 0,3761 | 0,2759 | 0,1840 | 0,1054 | 0,0672 |
| 19                               | 0,5588           | 0,4514 | 0,3477 | 0,2501 | 0,1622 | 0,0891 | 0,0548 |
| 20                               | 0,5280           | 0,4218 | 0,3200 | 0,2254 | 0,1419 | 0,0746 | 0,0441 |
| 21                               | 0,4974           | 0,3926 | 0,2931 | 0,2020 | 0,1232 | 0,0618 | 0,0351 |
| 22                               | 0,4671           | 0,3640 | 0,2673 | 0,1800 | 0,1062 | 0,0506 | 0,0276 |
| 23                               | 0,4372           | 0,3362 | 0,2425 | 0,1594 | 0,0909 | 0,0411 | 0,0214 |
| 24                               | 0,4079           | 0,3094 | 0,2191 | 0,1403 | 0,0771 | 0,0331 | 0,0164 |
| 25                               | 0,3794           | 0,2836 | 0,1970 | 0,1229 | 0,0650 | 0,0263 | 0,0124 |
| 26                               | 0,3518           | 0,2590 | 0,1763 | 0,1069 | 0,0544 | 0,0207 | 0,0093 |
| 27                               | 0,3251           | 0,2356 | 0,1570 | 0,0925 | 0,0451 | 0,0162 | 0,0069 |
| 28                               | 0,2995           | 0,2135 | 0,1392 | 0,0796 | 0,0372 | 0,0125 | 0,0050 |
| 29                               | 0,2751           | 0,1928 | 0,1229 | 0,0681 | 0,0304 | 0,0096 | 0,0036 |
| 30                               | 0,2518           | 0,1734 | 0,1079 | 0,0579 | 0,0247 | 0,0072 | 0,0026 |

Priamy výpočet bez interpolácie

$$E = 700f_k \rightarrow u = \frac{h_{ef}}{t_{ef}} - 1,67 \cdot \frac{1}{19,3 - 31 \frac{e_{mk}}{t}} \cdot \lambda = \frac{h_{ef}}{t_{ef}} \sqrt{\frac{f_k}{E}}; A_1 = 1 - 2 \frac{e_{mk}}{t}; \Phi_m = A_1 \cdot e^{\left(-\frac{u^2}{2}\right)}$$

$$\text{Pre iné } E \rightarrow u = \frac{\lambda - 0,063}{0,73 - 1,17 \frac{e_{mk}}{t}}; \lambda = \frac{h_{ef}}{t_{ef}} \sqrt{\frac{f_k}{E}}; A_1 = 1 - 2 \frac{e_{mk}}{t}; \Phi_m = A_1 \cdot e^{\left(-\frac{u^2}{2}\right)}$$

Zmenšujúci súčiniteľ  $\Phi_m$  pri  $E = K_E \cdot f_b = 1000f_k$ ,  $K_E = 1000$

| Štíhlostný pomer<br>$h_{ef}/t_{ef}$ | Pomer $e_{mk}/t$ |        |        |        |        |        |        |
|-------------------------------------|------------------|--------|--------|--------|--------|--------|--------|
|                                     | 0,05             | 0,10   | 0,15   | 0,20   | 0,25   | 0,30   | 0,33   |
| 0                                   | 0,8960           | 0,7957 | 0,6954 | 0,5951 | 0,4947 | 0,3944 | 0,3342 |
| 1                                   | 0,8990           | 0,7989 | 0,6989 | 0,5988 | 0,4987 | 0,3986 | 0,3385 |
| 2                                   | 0,9000           | 0,8000 | 0,7000 | 0,6000 | 0,5000 | 0,4000 | 0,3400 |
| 3                                   | 0,8990           | 0,7989 | 0,6989 | 0,5988 | 0,4987 | 0,3986 | 0,3385 |
| 4                                   | 0,8960           | 0,7957 | 0,6954 | 0,5951 | 0,4947 | 0,3944 | 0,3342 |
| 5                                   | 0,8910           | 0,7904 | 0,6897 | 0,5890 | 0,4882 | 0,3875 | 0,3271 |
| 6                                   | 0,8840           | 0,7830 | 0,6818 | 0,5806 | 0,4793 | 0,3780 | 0,3174 |
| 7                                   | 0,8752           | 0,7736 | 0,6718 | 0,5700 | 0,4680 | 0,3662 | 0,3054 |
| 8                                   | 0,8645           | 0,7623 | 0,6598 | 0,5572 | 0,4546 | 0,3523 | 0,2913 |
| 9                                   | 0,8520           | 0,7491 | 0,6459 | 0,5425 | 0,4392 | 0,3365 | 0,2755 |
| 10                                  | 0,8379           | 0,7341 | 0,6302 | 0,5261 | 0,4221 | 0,3191 | 0,2583 |
| 11                                  | 0,8221           | 0,7176 | 0,6128 | 0,5080 | 0,4036 | 0,3005 | 0,2401 |
| 12                                  | 0,8048           | 0,6995 | 0,5940 | 0,4886 | 0,3838 | 0,2810 | 0,2213 |
| 13                                  | 0,7861           | 0,6801 | 0,5739 | 0,4679 | 0,3631 | 0,2609 | 0,2022 |
| 14                                  | 0,7662           | 0,6594 | 0,5526 | 0,4463 | 0,3416 | 0,2406 | 0,1832 |
| 15                                  | 0,7451           | 0,6376 | 0,5304 | 0,4240 | 0,3198 | 0,2202 | 0,1645 |
| 16                                  | 0,7229           | 0,6149 | 0,5074 | 0,4011 | 0,2978 | 0,2002 | 0,1465 |
| 17                                  | 0,6999           | 0,5915 | 0,4838 | 0,3779 | 0,2758 | 0,1807 | 0,1294 |
| 18                                  | 0,6760           | 0,5674 | 0,4598 | 0,3546 | 0,2541 | 0,1620 | 0,1132 |
| 19                                  | 0,6516           | 0,5428 | 0,4355 | 0,3313 | 0,2328 | 0,1442 | 0,0983 |
| 20                                  | 0,6266           | 0,5179 | 0,4112 | 0,3084 | 0,2122 | 0,1274 | 0,0846 |
| 21                                  | 0,6012           | 0,4928 | 0,3870 | 0,2858 | 0,1925 | 0,1118 | 0,0721 |
| 22                                  | 0,5755           | 0,4676 | 0,3630 | 0,2638 | 0,1736 | 0,0974 | 0,0610 |
| 23                                  | 0,5497           | 0,4426 | 0,3393 | 0,2425 | 0,1558 | 0,0843 | 0,0512 |
| 24                                  | 0,5240           | 0,4178 | 0,3162 | 0,2220 | 0,1390 | 0,0724 | 0,0425 |
| 25                                  | 0,4982           | 0,3933 | 0,2937 | 0,2024 | 0,1234 | 0,0618 | 0,0351 |
| 26                                  | 0,4727           | 0,3692 | 0,2719 | 0,1837 | 0,1090 | 0,0523 | 0,0287 |
| 27                                  | 0,4476           | 0,3457 | 0,2508 | 0,1661 | 0,0957 | 0,0440 | 0,0232 |
| 28                                  | 0,4228           | 0,3229 | 0,2307 | 0,1496 | 0,0837 | 0,0368 | 0,0186 |
| 29                                  | 0,3984           | 0,3007 | 0,2115 | 0,1342 | 0,0727 | 0,0305 | 0,0149 |
| 30                                  | 0,3747           | 0,2793 | 0,1932 | 0,1198 | 0,0629 | 0,0251 | 0,0117 |

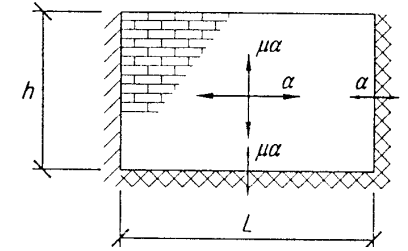
Priamy výpočet bez interpolácie

Pre:  $E = 1000 f_k \rightarrow u = \frac{h_{ef} - 2}{t_{ef} - 37 \frac{e_{mk}}{t}}$ ;  $\lambda = \frac{h_{ef}}{t_{ef}} \sqrt{\frac{f_k}{E}}$ ;  $A_1 = 1 - 2 \cdot \frac{e_{mk}}{t}$ ;  $\Phi_m = A_1 e^{\left(-\frac{u^2}{2}\right)}$ ; Pre iné  $E \rightarrow u =$

$\frac{\lambda - 0,063}{0,73 - 1,17 \cdot \frac{e_{mk}}{t}}$ ;  $\lambda = \frac{h_{ef}}{t_{ef}} \sqrt{\frac{f_k}{E}}$ ;  $A_1 = 1 - 2 \cdot \frac{e_{mk}}{t}$ ;  $\Phi_m = A_1 e^{\left(-\frac{u^2}{2}\right)}$ ;

Súčinitele ohybového momentu v stenách namáhaných ohybom pri zaťažení kolmom na ich rovinu

Poznámka : Lineárna interpolácia hodnôt  $\mu$  a  $h/L$  je prípustná  
 Poznámka 2: Ak hodnota pomeru  $h/L$  leží v intervale  $< 0,30; 2,00 >$ , stanovia sa ohybové momenty na základe predpokladu, že stena pôsobí ako prostý nosník. Napr. stena typu A s hodnotou pomeru  $h/L < 0,3$  pôsobí ako voľne stojaca, zatiaľ čo rovnaká stena s hodnotou pomeru  $h/L > 2,0$  pôsobí takmer ako vodorovný nosník



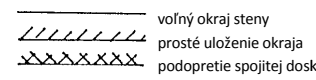
Označenie druhu podopretia

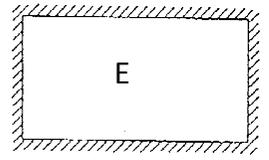
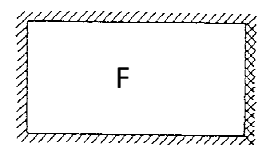
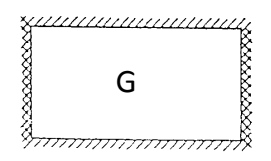
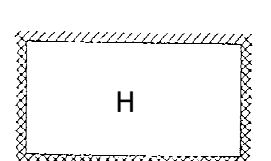
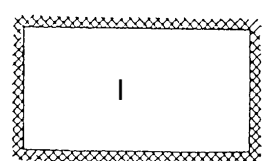
| Spôsob podopretia steny | $\mu$ | Hodnoty $\alpha$ |       |       |       |       |       |       |       |
|-------------------------|-------|------------------|-------|-------|-------|-------|-------|-------|-------|
|                         |       | $h/L$            |       |       |       |       |       |       |       |
|                         |       | 0,30             | 0,50  | 0,75  | 1,00  | 1,25  | 1,50  | 1,75  | 2,00  |
|                         | 1,00  | 0,031            | 0,045 | 0,059 | 0,071 | 0,079 | 0,087 | 0,090 | 0,094 |
|                         | 0,90  | 0,032            | 0,047 | 0,061 | 0,073 | 0,081 | 0,087 | 0,092 | 0,095 |
|                         | 0,80  | 0,34             | 0,049 | 0,064 | 0,075 | 0,083 | 0,089 | 0,093 | 0,097 |
|                         | 0,70  | 0,035            | 0,051 | 0,066 | 0,077 | 0,085 | 0,091 | 0,095 | 0,098 |
|                         | 0,60  | 0,038            | 0,053 | 0,069 | 0,080 | 0,088 | 0,093 | 0,097 | 0,100 |
|                         | 0,60  | 0,040            | 0,056 | 0,073 | 0,083 | 0,090 | 0,095 | 0,099 | 0,102 |
|                         | 0,40  | 0,043            | 0,081 | 0,077 | 0,087 | 0,093 | 0,098 | 0,101 | 0,104 |
|                         | 0,35  | 0,045            | 0,064 | 0,080 | 0,089 | 0,095 | 0,100 | 0,103 | 0,105 |
|                         | 0,30  | 0,048            | 0,067 | 0,082 | 0,091 | 0,097 | 0,101 | 0,104 | 0,107 |
|                         |       | 1,00             | 0,024 | 0,035 | 0,046 | 0,053 | 0,059 | 0,062 | 0,065 |
| 0,90                    |       | 0,025            | 0,036 | 0,047 | 0,055 | 0,060 | 0,063 | 0,066 | 0,068 |
| 0,80                    |       | 0,027            | 0,037 | 0,049 | 0,056 | 0,061 | 0,065 | 0,067 | 0,069 |
| 0,70                    |       | 0,028            | 0,039 | 0,051 | 0,058 | 0,062 | 0,066 | 0,068 | 0,070 |
| 0,60                    |       | 0,030            | 0,042 | 0,053 | 0,059 | 0,064 | 0,067 | 0,069 | 0,071 |
| 0,60                    |       | 0,031            | 0,044 | 0,055 | 0,061 | 0,066 | 0,069 | 0,071 | 0,072 |
| 0,40                    |       | 0,034            | 0,047 | 0,057 | 0,063 | 0,067 | 0,070 | 0,072 | 0,074 |
| 0,35                    |       | 0,035            | 0,049 | 0,059 | 0,065 | 0,068 | 0,071 | 0,073 | 0,074 |
| 0,30                    |       | 0,037            | 0,051 | 0,061 | 0,066 | 0,070 | 0,072 | 0,074 | 0,075 |
|                         |       | 1,00             | 0,020 | 0,028 | 0,037 | 0,042 | 0,045 | 0,048 | 0,050 |
|                         | 0,90  | 0,021            | 0,029 | 0,038 | 0,043 | 0,046 | 0,048 | 0,050 | 0,052 |
|                         | 0,80  | 0,022            | 0,031 | 0,039 | 0,043 | 0,047 | 0,049 | 0,051 | 0,052 |
|                         | 0,70  | 0,023            | 0,032 | 0,040 | 0,044 | 0,048 | 0,050 | 0,051 | 0,053 |
|                         | 0,60  | 0,024            | 0,034 | 0,041 | 0,046 | 0,049 | 0,051 | 0,052 | 0,053 |
|                         | 0,60  | 0,025            | 0,035 | 0,043 | 0,047 | 0,050 | 0,052 | 0,053 | 0,059 |
|                         | 0,40  | 0,027            | 0,038 | 0,044 | 0,048 | 0,051 | 0,051 | 0,054 | 0,055 |
|                         | 0,35  | 0,029            | 0,039 | 0,045 | 0,049 | 0,052 | 0,053 | 0,054 | 0,055 |
|                         | 0,30  | 0,030            | 0,040 | 0,046 | 0,050 | 0,052 | 0,054 | 0,055 | 0,056 |
|                         |       | 1,00             | 0,013 | 0,021 | 0,029 | 0,035 | 0,040 | 0,043 | 0,045 |
| 0,90                    |       | 0,014            | 0,022 | 0,031 | 0,036 | 0,040 | 0,043 | 0,046 | 0,048 |
| 0,80                    |       | 0,015            | 0,023 | 0,032 | 0,038 | 0,041 | 0,044 | 0,047 | 0,048 |
| 0,70                    |       | 0,016            | 0,025 | 0,033 | 0,039 | 0,043 | 0,045 | 0,047 | 0,049 |
| 0,60                    |       | 0,017            | 0,026 | 0,035 | 0,040 | 0,044 | 0,046 | 0,048 | 0,050 |
| 0,60                    |       | 0,018            | 0,028 | 0,037 | 0,042 | 0,045 | 0,048 | 0,050 | 0,051 |
| 0,40                    |       | 0,020            | 0,031 | 0,039 | 0,043 | 0,047 | 0,049 | 0,051 | 0,052 |
| 0,35                    |       | 0,022            | 0,032 | 0,040 | 0,044 | 0,048 | 0,050 | 0,051 | 0,053 |
| 0,30                    |       | 0,023            | 0,034 | 0,041 | 0,046 | 0,049 | 0,051 | 0,052 | 0,053 |

Poznámka : Uvedená tabuľka je skrátená, hodnoty  $h/L$  pre interval  $\mu : 0,3-0,05$  nájdete v norme [1].

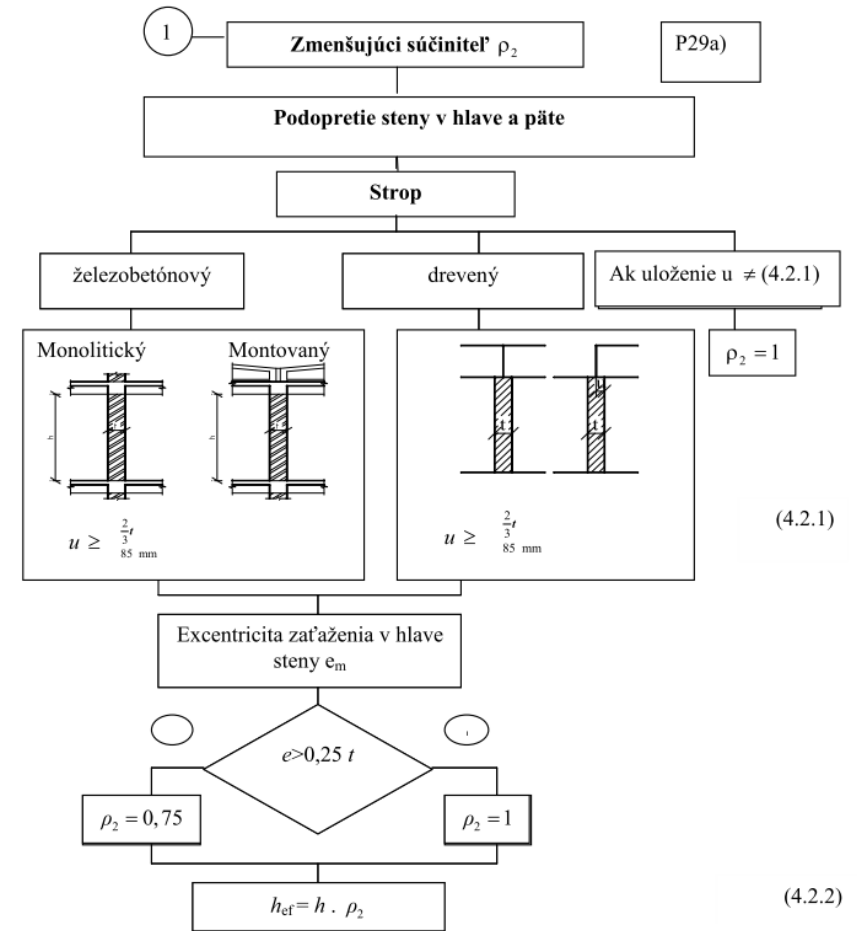
Súčinitele ohybového momentu v stenách namáhaných ohybom pri zaťažení kolmom na ich rovinu

Označenie druhu podopretia


  
 voľný okraj steny  
 prosté uloženie okraja  
 podopretie spojitou doskou

|   | $\mu$   | Hodnoty $\alpha$ |       |       |       |       |       |       |       |
|---|---|------------------|-------|-------|-------|-------|-------|-------|-------|
|   |   | $h/L$            |       |       |       |       |       |       |       |
|   |   | 0,30             | 0,50  | 0,75  | 1,00  | 1,25  | 1,50  | 1,75  | 2,00  |
|    | 1,00  | 0,008            | 0,018 | 0,030 | 0,042 | 0,051 | 0,059 | 0,066 | 0,071 |
|   | 0,90  | 0,009            | 0,019 | 0,032 | 0,044 | 0,054 | 0,062 | 0,068 | 0,074 |
|   | 0,80  | 0,010            | 0,021 | 0,035 | 0,048 | 0,056 | 0,064 | 0,071 | 0,076 |
|   | 0,70  | 0,011            | 0,023 | 0,037 | 0,049 | 0,059 | 0,067 | 0,073 | 0,078 |
|   | 0,60  | 0,012            | 0,025 | 0,040 | 0,053 | 0,062 | 0,070 | 0,076 | 0,081 |
|   | 0,50  | 0,014            | 0,028 | 0,044 | 0,057 | 0,066 | 0,074 | 0,080 | 0,085 |
|   | 0,40  | 0,017            | 0,032 | 0,049 | 0,062 | 0,071 | 0,078 | 0,084 | 0,088 |
|   | 0,35  | 0,018            | 0,035 | 0,052 | 0,064 | 0,074 | 0,081 | 0,086 | 0,090 |
|   | 0,30  | 0,020            | 0,038 | 0,055 | 0,068 | 0,077 | 0,083 | 0,089 | 0,093 |
|   |    | 1,00             | 0,008 | 0,016 | 0,026 | 0,034 | 0,041 | 0,046 | 0,051 |
| 0,90  |   | 0,008            | 0,017 | 0,027 | 0,036 | 0,042 | 0,048 | 0,052 | 0,055 |
| 0,80  |   | 0,009            | 0,018 | 0,029 | 0,037 | 0,044 | 0,049 | 0,054 | 0,057 |
| 0,70  |   | 0,010            | 0,020 | 0,031 | 0,039 | 0,046 | 0,051 | 0,055 | 0,058 |
| 0,60  |   | 0,011            | 0,022 | 0,033 | 0,042 | 0,048 | 0,053 | 0,057 | 0,060 |
| 0,60  |   | 0,013            | 0,024 | 0,036 | 0,044 | 0,051 | 0,056 | 0,059 | 0,062 |
| 0,40  |   | 0,015            | 0,027 | 0,039 | 0,048 | 0,054 | 0,058 | 0,062 | 0,064 |
| 0,35  |   | 0,016            | 0,029 | 0,041 | 0,050 | 0,055 | 0,060 | 0,063 | 0,066 |
| 0,30  |   | 0,018            | 0,031 | 0,044 | 0,052 | 0,057 | 0,062 | 0,065 | 0,067 |
|    |   | 1,00             | 0,007 | 0,014 | 0,022 | 0,028 | 0,033 | 0,037 | 0,040 |
|   | 0,90  | 0,008            | 0,015 | 0,023 | 0,029 | 0,034 | 0,038 | 0,041 | 0,043 |
|   | 0,80  | 0,008            | 0,016 | 0,024 | 0,031 | 0,035 | 0,039 | 0,042 | 0,044 |
|   | 0,70  | 0,009            | 0,017 | 0,026 | 0,032 | 0,037 | 0,040 | 0,043 | 0,045 |
|   | 0,60  | 0,010            | 0,019 | 0,028 | 0,034 | 0,038 | 0,042 | 0,044 | 0,046 |
|   | 0,60  | 0,011            | 0,021 | 0,030 | 0,036 | 0,040 | 0,043 | 0,046 | 0,048 |
|   | 0,40  | 0,013            | 0,023 | 0,032 | 0,038 | 0,042 | 0,045 | 0,047 | 0,049 |
|   | 0,35  | 0,014            | 0,025 | 0,033 | 0,039 | 0,043 | 0,046 | 0,048 | 0,050 |
|   | 0,30  | 0,016            | 0,028 | 0,035 | 0,041 | 0,044 | 0,047 | 0,049 | 0,051 |
|   |  | 1,00             | 0,005 | 0,011 | 0,018 | 0,024 | 0,029 | 0,033 | 0,036 |
| 0,90  |   | 0,006            | 0,012 | 0,019 | 0,025 | 0,030 | 0,034 | 0,037 | 0,040 |
| 0,80  |   | 0,006            | 0,013 | 0,020 | 0,027 | 0,032 | 0,035 | 0,038 | 0,041 |
| 0,70  |   | 0,007            | 0,014 | 0,022 | 0,028 | 0,033 | 0,037 | 0,040 | 0,042 |
| 0,60  |   | 0,008            | 0,015 | 0,024 | 0,030 | 0,035 | 0,038 | 0,041 | 0,043 |
| 0,60  |   | 0,009            | 0,017 | 0,025 | 0,032 | 0,036 | 0,040 | 0,043 | 0,045 |
| 0,40  |   | 0,010            | 0,019 | 0,028 | 0,034 | 0,039 | 0,042 | 0,045 | 0,047 |
| 0,35  |   | 0,011            | 0,021 | 0,029 | 0,036 | 0,040 | 0,043 | 0,046 | 0,047 |
| 0,30  |   | 0,013            | 0,022 | 0,031 | 0,037 | 0,041 | 0,044 | 0,047 | 0,049 |
|  |   | 1,00             | 0,004 | 0,009 | 0,015 | 0,021 | 0,026 | 0,030 | 0,033 |
|   | 0,90  | 0,004            | 0,010 | 0,016 | 0,022 | 0,027 | 0,031 | 0,034 | 0,037 |
|   | 0,80  | 0,005            | 0,010 | 0,017 | 0,023 | 0,028 | 0,032 | 0,035 | 0,038 |
|   | 0,70  | 0,005            | 0,011 | 0,019 | 0,025 | 0,030 | 0,033 | 0,036 | 0,039 |
|   | 0,60  | 0,006            | 0,013 | 0,020 | 0,026 | 0,031 | 0,035 | 0,038 | 0,041 |
|   | 0,60  | 0,007            | 0,014 | 0,022 | 0,028 | 0,033 | 0,037 | 0,040 | 0,042 |
|   | 0,40  | 0,008            | 0,016 | 0,024 | 0,031 | 0,035 | 0,039 | 0,042 | 0,044 |
|   | 0,35  | 0,009            | 0,017 | 0,026 | 0,032 | 0,037 | 0,040 | 0,043 | 0,045 |
|   | 0,30  | 0,010            | 0,019 | 0,028 | 0,034 | 0,038 | 0,042 | 0,044 | 0,046 |

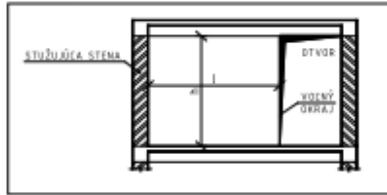
Poznámka : Uvedená tabuľka je skrátaná, hodnoty  $h/L$  pre interval  $\mu : 0,3-0,05$  nájdete v norme [1].



2

Zmenšujúci súčiniteľ  $\rho_3$ 

P 29b)



Podopretie steny v hlave a päte

Pozdĺž jedného zvislého okraja  
(druhý okraj voľný)  
L-vzdialenosť medzi voľným  
okrajom a osou stužujúcej steny

+

$$h \leq 3,5 l$$

$$\rho_3 = \frac{1}{1 + \left[ \frac{\rho_2 h}{3 l} \right]^2} \rho_2 \quad (4.2.3)$$

$$\rho_3 = \frac{1,5 l}{h} \geq 0,3 \quad (4.2.4)$$

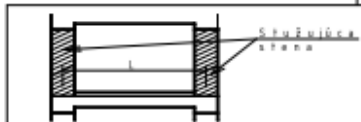
$$h_{ef} = \rho_3 h \quad (4.2.5)$$

Účinná výška steny  $h_{ef}$ 

3

Zmenšujúci súčiniteľ  $\rho_4$ 

P 29c)



Podopretie v hlave a päte

$$h > 1,15 l$$

$$\rho_4 = \frac{1}{1 + \left( \frac{\rho_2 h}{l} \right)^2} \rho_2 \quad (4.2.6)$$

$$\rho_4 = \frac{0,5 l}{h} \quad (4.2.7)$$

$$h_{ef} = \rho_4 h \quad (4.2.8)$$